

**PRZEMYSŁOWY INSTYTUT AUTOMATYKI I POMIARÓW
MERA-PIAP**
Al. Jerozolimskie 202 02-222 Warszawa Telefon 23-70-81

Ośrodek Badań Niezawodności i Jakości

440

Centralna Stacja Prób

BC 10

Główny wykonawca

Wykonawcy tech.tech. J.Zalewski, Wł.Szymański

Konsultant doc.dr inż. St.Wydżga

Nr zlecenia

9500

Wykonanie wybranych zespołów zestawów
INTELDIGIT PROWAY.

Et. 1.c

Badania prototypu chłodzonej
kasety wentylatorów.

Zleceniodawca OAE - praca własna

Prace rozpoczęto dnia 6.01.87

Kierownik CSP

lucy
mgr inż. E.Trepczyński

zakończono dnia 30.01.87

Kierownik OBN

Amr
dr inż. St.Budzyński

Praca zawiera:

stren. 6

Rozdzielnik - ilość egz:

Egz. 1 BOINTE

rysunków 8

Egz. 2 OAE

fotografii

Egz. 3 OBN

tabel 13

Egz. 4 OAE

tablic

Egz. 5

zadaniników 2 /tylko OBN/

Egz. 6

Nr rejestr. 5793

1

Analiza deskryptoryjna

INTELDIGIT PROWAY: CHŁODZONA KASETA AKUMULATORÓW + BUDANIA.

Analiza dokumentacyjna

Praca zawiera opis i wyniki badań prototypu chłodzonej kasety akumulatorów.

wentylatorowej

Tytuły poprzednich sprawozdań

UKD

PIAP-252/03-6000

2

- Wariant A - IV stopień chłodzenia - chłodzenie najsilniejsze
moduły chłodzące połączone równolegle i zasilane napięciem 5 V, kasetą wentylatorów załączona
- Wariant B - III stopień chłodzenia - chłodzenie słabsze
moduły chłodzące połączone równolegle i zasilane napięciem 5 V, kasetą wentylatorów wyłączona
- Wariant C - II stopień chłodzenia - chłodzenie słabsze
moduły chłodzące połączone szeregowo i zasilane napięciem 5 V, kasetą wentylatorów załączona
- Wariant D - I stopień chłodzenia - chłodzenie najsłabsze
moduły chłodzące połączone szeregowo i zasilane napięciem 5 V, kasetą wentylatorów wyłączona.

Dla każdego z wariantów intensywności chłodzenia mierzono temperaturę do chwili jej ustalenia wewnętrz każdej z komór chłodniczych w funkcji czasu.

Jednocześnie w trakcie określania intensywności chłodzenia dokonywano:
- pomiaru napięcia zasilania,
- pomiaru poboru prądu
rejestrując temperaturę otoczenia.

Temperaturę w komorach chłodniczych mierzono przy pomocy czujników Pt-100 mierząc ich oporność dla każdego punktu pomiarowego, a następnie z charakterystyk termometrycznych wg PN-83/M-53852 dokonano przeliczeń na temperaturę. Założonym wymaganiem dla oceny jakości chłodzonej kasy akumulatorów było obniżenie temperatury w komorach o 20°C w stosunku do temperatury otoczenia.

Wyniki pomiarów dla poszczególnych wariantów intensywności podano w tabelach 1, 2, 3, 4 oraz na wykresach spadku temperatury w funkcji czasu.

Badania wykazały, że dla wszystkich wariantów intensywności chłodzenia warunek obniżenia temperatury o 20°C względem temp. otoczenia został spełniony.

Wynik sprawdzenia pozytywny.

2.2. Sprawdzenie intensywności chłodzenia w temp. obniżonej $+5^{\circ}\text{C}$

Pomiary wykonano jak w p.2.1 n/sprawozdania dla IV i III stopnia chłodzenia.

Wyniki podano w tabeli 5 /stopień IV/ oraz tabeli 6/stopień III/.

W obydwu wariantach osiągnięto obniżenie temperatury wewnętrz komory

1. Wstęp

1.1. Przedmiot badań

Przedmiotem badań była: chłodzona kasa akumulatorów /bez symbolu i nr fabr./ przeznaczona do obniżania temperatury w komorach z akumulatorami niklowo-kadmowymi.

1.2. Dokumenty i normy związane

• Program badań /w rękopisie/

- Projekt ZN-867 MERA.

1.3. Wykaz wykonanych sprawdzeń

- Spr. intensywności chłodzenia w temp. otoczenia /normalnej/
- Spr. intensywności chłodzenia w temp. obniżonej +5°C
- Spr. intensywności chłodzenia w temp. podwyższonej +55°C
- Spr. wytrzymałości na wilgotne gorąco stałe
- Spr. wytrzymałości na suche gorąco +70°C
- Spr. wytrzymałości na zimno -25°C
- Spr. odporności i wytrzymałości na wibracje sinusoidalne
- Spr. wytrzymałości na uderzenia mechaniczne.

1.4. Aparatura użyta do badań

- zasilacz prądu stałego Z-3020
- zasilacz prądu stałego SPS18 5.40SC
- voltmierz cyfrowy V-543
- voltmierz cyfrowy Solartron
- amperomierz prądu stałego LM-1 z bocznikiem
- termometr cyfrowy 2802A
- czujniki ~~kameryczne~~ termometryczne platynowe Pt-100
- termometr rtęciowy
- przełącznik pomiarowy

2. Badania

2.1. Sprawdzenie intensywności chłodzenia w temp. otoczenia /normalne,

Celem badań jest określenie obniżenia temperatury wewnątrz obszaru chłodzonego w stosunku do temperatury otoczenia.

Pomiary zg. z wymaganiami i opisem badań wykonane zostały w 4-ch wariantach intensywności chłodzenia:

większe od 20°C w stosunku do temperatury otoczenia.
Wynik sprawdzenia pozytywny.

2.3. Sprawdzenie intensywności chłodzenia w temp. podwyższonej $+55^{\circ}\text{C}$.

Pomiary wykonano jak w p. 2.1 n/sprawozdania dla III i IV stopnia chłodzenia. Wyniki podano w tabeli 7 /stopień IV/ oraz tabeli 8 /stopień III/.

W obydwu wariantach osiągnięto obniżenie temperatury wewnętrz komory większe o 20°C w stosunku do temperatury otoczenia.

Wynik sprawdzenia pozytywny.

2.4. Sprawdzenie wytrzymałości na wilgotne gorąco stałe

Próbę wykonano zg. z projektem ZN p. 4.3.15 przy parametrach: temp. $+40^{\circ}\text{C}$ wilgotność 93 % czas próby 4 doby.

Po próbie i reklimatyzacji sprawdzono rezystancję izolacji wg ZN p.4.3.7, która równa była $\infty \Omega$ oraz wytrzymałość elektryczną izolacji wg ZN p. 4.3.6, nie stwierdzając przebijania izolacji.

Oględziny nie wykazały śladów korozji.

Następnie wykonano pomiary jak w p.2.1 n/sprawozdania dla III stopnia chłodzenia.

Wyniki pomiarów podano w tabeli 9.

Obniżenie temperatury wewnętrz komory względem temperatury otoczenia wynosiło $25,9^{\circ}\text{C}$.

Wynik sprawdzenia pozytywny.

2.5. Sprawdzenie wytrzymałości na suche gorąco

Próbę wykonano dla III stopnia chłodzenia wg ZN p. 4.3.9 przy parametrach: temp. $+70^{\circ}\text{C}$, czas narażenia 16 godzin.

Po próbie i reklimatyzacji wykonano pomiary jak w p.2.1 n/sprawozdania.

Wyniki w tabeli 10.

Obniżenie temperatury wewnętrz komory w stosunku do temp. otoczenia wynosiło $25,1^{\circ}\text{C}$.

Wynik sprawdzenia pozytywny.

2.6. Sprawdzenie wytrzymałości na zimno

Próbę wykonano dla III stopnia chłodzenia wg ZN p.4.3.11 przy parametrach: temp -25°C , czas narażenia 16 godzin.

Po próbie i reklimatyzacji wykonano pomiary jak w p.2.1.n/sprawozdania.

Wyniki w tabeli 11.

Obniżenie temperatury wewnętrz komory w stosunku do temperatury otoczenia wynosiło $26,2^{\circ}\text{C}$.

Wynik sprawdzenia pozytywny.

2.7. Sprawdzenie odporności i wytrzymałości na wibracje sinusoidalne

Badania odporności wykonano dla stopnia chłodzenia III przy drganiach o parametrach podanych przez zleceniodawcę:

- częstotliwość 5-80 Hz,
- amplituda $0,035 \text{ mm}$ dla $f < 60 \text{ Hz}$
 $4,9 \text{ m/s}^2$ dla $f > 60 \text{ Hz}$

W trakcie występowania drgań w badanej chłodzonej kasetie akumulatorów stwierdzono schładzanie /obniżenie temperatury w komorze/.

Badania wytrzymałości wykonano dla III stopnia chłodzenia przy drganiach o parametrach podanych przez zleceniodawcę:

- częstotliwość 10-80 Hz
- amplituda $0,15 \text{ mm}$ dla $f < 60 \text{ Hz}$
 $19,6 \text{ m/s}^2$ dla $f > 60 \text{ Hz}$
- czas próby 1,5 h

Po próbie wykonano sprawdzenie intensywności chłodzenia jak w p.2.1 n/sprawozdania. Wyniki podano w tabeli 12.

Obniżenie temperatury wewnętrz komory względem temp. otoczenia wynosiło $22,1^{\circ}\text{C}$ /wymagane min. 20°C /.

Wynik sprawdzenia pozytywny.

2.8. Sprawdzenie wytrzymałości na udary mechaniczne

Badanie wykonało umieszczając chłodzoną kasetę akumulatorów w opakowaniu zastępczym /brak oryginalnego/ na stole wstrząsarki ударowej zadając udary o przyspieszeniu 10 g w ilości 1000 uderów.

Po próbie wykonano sprawdzenie intensywności chłodzenia jak w p.2.1 n/sprawozdania. Wyniki podano w tabeli 13.

Obniżenie temperatury wewnętrz komory względem temp. otoczenia wynosiło $23,7^{\circ}\text{C}$ /wymagane 20°C /.

Wynik sprawdzenia pozytywny.

3. Omówienie wyników badań

Chłodzona kasaeta wentylatorów w zakresie przeprowadzonych badań uzyskała wynik pozytywny.

Podstawowe założenia o obniżeniu temperatury o 20°C w komorach chłodzonej kasety akumulatorów w stosunku do temperatury otoczenia zostało osiągnięte we wszystkich wariantach, a w jednym przypadku /wariant A/ znacznie przekroczone.

Dla różnych wariantów obniżenie temperatury osiągano jednak przy różnym zużyciu energii.

Najlepszy rezultat obniżenia temperatury osiągnięto dla wariantu A /równoległe połączenie modułów chłodzących przy włączonej kasecie wentylatorów/ równy 38°C przy znacznym poborze prądu - 19,6 A.

Dla wariantu B -/równoległe połączenie modułów chłodzących przy wyłączonej kasecie wentylatorów/ osiągnięto obniżenie temperatury o $22,5^{\circ}\text{C}$ przy poborze prądu 18 A.

Dla wariantu C /szeregowe połączenie modułów chłodzących przy włączonej kasecie wentylatorów/ osiągnięto obniżenie temperatury o 26°C przy poborze prądu 4,6 A.

Dla wariantu D /szeregowe połączenie modułów chłodzących przy wyłączonej kasecie wentylatorów/ osiągnięto obniżenie temperatury o 20°C przy poborze prądu 4,4 A.

Z powyższego wynika, że z punktu widzenia zużycia energii przy zachowaniu założonego spadku temperatury najlepszy efekt uzyskujemy dla wariantu C.

Podczas badań określono również czas uzyskania najniższej temperatury dla poszczególnych wariantów, który waha się w granicach od 27 do 34 minut.

Badania wykazały wyższy stopień obniżenia temperatury w środowisku wyższych temperatur i tak:

- dla temp. otoczenia $+55^{\circ}\text{C}$ obniżenie temp. wynosi 43°C
- dla temp. $+5^{\circ}\text{C}$ obniżenie temp. wynosi 35°C .

Poniżej w tabeli podano zestawienie wyników uzyskanych dla komory I w warunkach normalnej temperatury otoczenia.

Parametr	Połączenie modułów			
	równoległe		szeregowe	
	wariant A z wentyla- torem	wariant B bez wenty- latora	wariant C z wentyla- torem	wariant D bez wenty- ladora
ochłodzenie °C	-38,4	22,4	25,7	-20,2
prąd A	19,6	18,0	4,6	4,4
czas schla- dzania min	28	34	27	30

Tabela 1.

Pomiar	Czas [min]	Napięcie [V]	Prąd [A]	I komora		II komora		Temp. otocz. [°C]
				Oporność czujnika [Ω]	Temp. [°C]	Oporność czujnika [Ω]	Temp. [°C]	
1	0	4,962	22,3	106,8	17,4	106,8	17,4	17,4
2	1	4,976	21,1	105,9	15,1	106,0	15,4	17,4
3	2	4,982	20,7	103,7	9,5	104,1	10,5	17,4
4	3	4,992	20,3	101,5	3,9	102,1	5,4	17,4
5	4	4,996	20,1	99,5	-1,3	100,2	0,5	17,2
6	5	4,998	19,9	98,0	-5,1	98,7	-3,3	17,2
7	6	5,000	19,8	96,8	-8,2	97,5	-6,4	17,2
8	7	5,002	19,8	95,8	-10,8	96,4	-9,3	17,2
9	8	5,002	19,7	95,0	-12,8	95,6	-11,3	17,2
10	9	5,004	19,7	94,4	-14,3	95,0	-12,8	17,2
11	10	5,004	19,7	93,9	-15,5	94,5	-14,0	17,2
12	11	5,004	19,7	93,5	-16,5	94,1	-15,0	17,2
13	12	5,006	19,7	93,2	-17,3	93,7	-16,0	17,4
14	13	5,006	19,7	92,9	-18,0	93,5	-16,5	17,4
15	14	5,006	19,7	92,6	-18,8	93,0	-17,8	17,4
16	15	5,006	19,7	92,4	-19,3	92,9	-18,0	17,4
17	16	5,006	19,6	92,3	-19,5	92,8	-18,3	17,4
18	17	5,006	19,6	92,2	-19,8	92,7	-18,5	17,4
19	18	5,008	19,6	92,1	-20,0	92,6	-18,8	17,4
20	19	5,008	19,6	92,0	-20,3	92,4	-19,3	17,4
21	20	5,008	19,6	91,9	-20,5	92,4	-19,3	17,4
22	21	5,008	19,6	91,9	-20,5	92,3	-19,5	17,4
23	22	5,008	19,6	91,9	-20,5	92,3	-19,5	17,4
24	23	5,008	19,6	91,8	-20,8	92,3	-19,5	17,4
25	24	5,008	19,6	91,8	-20,8	92,2	-19,8	17,4
26	25	5,008	19,6	91,8	-20,8	92,2	-19,8	17,4
27	26	5,008	19,6	91,8	-20,8	92,2	-19,8	17,4
28	27	5,008	19,6	91,8	-20,8	92,2	-19,8	17,4
29	28	5,008	19,6	91,7	-21,0	92,2	-19,8	17,4
30	29	5,008	19,6	91,7	-21,0	92,2	-19,8	17,4
31	30	5,008	19,6	91,7	-21,0	92,2	-19,8	17,4
32	35	5,008	19,6	91,7	-21,0	92,2	-19,8	17,3
33	40	5,008	19,6	91,7	-21,0	92,2	-19,8	17,3
34	45	5,008	19,6	91,7	-21,0	92,2	-19,8	17,3
35	—	—	—	—	—	—	—	—

Tabela 2.

Pomiar	Czas [min]	Napięcie [V]	Prąd [A]	I komora		II komora		Temp. otocz. [°C]
				Oporność czujnika [Ω]	Temp. [°C]	Oporność czujnika [Ω]	Temp. [°C]	
				[min]	[V]	[A]	[Ω]	[°C]
1	0	4,960	22,3	106,3	16,2	106,3	16,2	16,1
2	1	4,974	21,0	104,6	11,8	104,9	12,6	16,1
3	2	4,984	20,5	102,7	6,9	103,1	8,0	16,1
4	3	4,992	20,0	100,6	1,5	101,0	2,6	16,1
5	4	5,000	19,7	98,9	-2,8	99,2	-2,1	16,2
6	5	5,008	19,5	97,9	-5,4	98,0	-5,1	16,2
7	6	5,012	19,2	97,0	-7,7	97,0	-7,7	16,2
8	7	5,018	19,1	96,5	-9,0	96,3	-9,5	16,2
9	8	5,024	18,8	96,1	-10,0	95,7	-11,0	16,3
10	9	5,028	18,7	95,9	-10,5	95,3	-12,0	16,3
11	10	5,032	18,5	95,8	-10,8	95,1	-12,5	16,3
12	11	5,036	18,4	95,7	-11,0	95,0	-12,8	16,3
13	12	5,030	18,6	95,7	-11,0	94,9	-13,0	16,4
14	13	5,032	18,6	95,7	-11,0	94,9	-13,0	16,4
15	14	5,034	18,5	95,7	-11,0	94,9	-13,0	16,4
16	15	5,036	18,5	95,8	-10,8	95,0	-12,8	16,4
17	16	5,036	18,4	95,8	-10,8	95,0	-12,8	16,4
18	17	5,038	18,4	95,9	-10,5	95,1	-12,5	16,4
19	18	5,038	18,3	96,0	-10,3	95,2	-12,3	16,4
20	19	5,040	18,3	96,1	-10,0	95,3	-12,0	16,4
21	20	5,040	18,3	96,2	-9,7	95,4	-11,8	16,5
22	21	5,042	18,3	96,3	-9,5	95,5	-11,5	16,5
23	22	5,042	18,2	96,4	-9,3	95,6	-11,3	16,5
24	23	5,042	18,2	96,5	-9,0	95,7	-11,0	16,5
25	24	5,044	18,2	96,6	-8,7	95,7	-11,0	16,5
26	25	5,044	18,2	96,7	-8,5	95,8	-10,8	16,5
27	26	5,046	18,2	96,8	-8,2	95,9	-10,5	16,5
28	27	5,046	18,2	96,8	-8,2	96,0	-10,3	16,5
29	28	5,048	18,2	96,9	-8,0	96,0	-10,3	16,5
30	29	5,048	18,1	97,0	-7,7	96,0	-10,3	16,5
31	30	5,050	18,1	97,1	-7,4	96,2	-9,7	16,5
32	35	5,050	18,0	97,4	-6,7	96,5	-9,0	16,5
33	40	5,050	18,0	97,6	-6,2	96,7	-8,5	16,6
34	45	5,050	18,0	97,7	-5,9	96,8	-8,2	16,6
35	—	—	—	—	—	—	—	—

Tabela 3.

Pomiar	Czas	Napięcie	Prąd	I komora		II komora		Temp. otocz.
				Oporność czujnika	Temp.	Oporność czujnika	Temp.	
				[Ω]	[°C]	[Ω]	[°C]	
1	0	4,986	5,7	106,3	16,2	106,4	16,4	16,0
2	1	4,998	5,2	105,8	14,9	106,0	15,4	16,0
3	2	5,004	5,0	104,5	11,5	104,8	12,3	16,0
4	3	5,006	4,9	103,1	8,0	103,6	9,2	16,0
5	4	5,010	4,8	101,9	4,9	102,5	6,4	16,0
6	5	5,012	4,8	100,8	2,1	101,4	3,6	16,0
7	6	5,012	4,7	100,0	0,0	100,6	1,5	16,0
8	7	5,014	4,7	99,3	-1,8	99,9	-0,3	16,1
9	8	5,014	4,7	98,8	-3,1	99,4	-1,5	16,1
10	9	5,016	4,65	98,3	-4,4	98,9	-2,8	16,1
11	10	5,016	4,6	98,0	-5,1	98,6	-3,6	16,1
12	11	5,016	4,6	97,7	-5,9	98,2	-4,6	16,1
13	12	5,016	4,6	97,4	-6,7	98,0	-5,1	16,1
14	13	5,016	4,6	97,2	-7,2	97,8	-5,6	16,1
15	14	5,016	4,6	97,1	-7,4	97,7	-5,9	16,1
16	15	5,018	4,6	97,0	-7,7	97,5	-6,4	16,1
17	16	5,018	4,6	96,9	-8,0	97,4	-6,7	16,1
18	17	5,018	4,6	96,8	-8,2	97,3	-6,9	16,1
19	18	5,018	4,6	96,7	-8,5	97,3	-6,9	16,1
20	19	5,018	4,6	96,6	-8,7	97,2	-7,2	16,1
21	20	5,018	4,6	96,6	-8,7	97,1	-7,4	16,1
22	21	5,018	4,6	96,5	-9,0	97,1	-7,4	16,1
23	22	5,018	4,6	96,5	-9,0	97,5	-6,4	16,1
24	23	5,018	4,6	96,5	-9,0	97,5	-6,4	16,1
25	24	5,018	4,6	96,4	-9,3	97,0	-7,7	16,1
26	25	5,018	4,6	96,4	-9,3	96,9	-8,0	16,1
27	26	5,018	4,6	96,4	-9,3	96,9	-8,0	16,0
28	27	5,018	4,6	96,4	-9,3	96,9	-8,0	16,0
29	28	5,018	4,6	96,3	-9,5	96,9	-8,0	16,0
30	29	5,018	4,6	96,3	-9,5	96,9	-8,0	16,0
31	30	5,018	4,6	96,3	-9,5	96,8	-8,0	16,0
32	35	5,018	4,6	96,3	-9,5	96,8	-8,2	16,1
33	40	5,018	4,6	96,3	-9,5	96,8	-8,2	16,1
34	45	5,018	4,6	96,3	-9,5	96,8	-8,2	16,1
35	—	—	—	—	—	—	—	—

Tabela 4.

Pomiar	Czas	Napięcie	Prąd	I komora		II komora		Temp. otocz.
				Oporność czujnika	Temp.	Oporność czujnika	Temp.	
	[min]	[V]	[A]	[Ω]	[°C]	[Ω]	[°C]	[°C]
1	0	4,984	5,7	106,1	15,6	106,1	15,6	16,9
2	1	4,994	5,2	105,5	14,1	105,5	14,5	16,9
3	2	5,002	5,0	104,2	10,8	104,4	11,3	16,9
4	3	5,006	4,85	102,8	7,2	103,1	8,0	16,9
5	4	5,010	4,75	101,7	4,4	102,0	5,1	16,9
6	5	5,012	4,70	100,7	1,8	101,1	2,8	16,9
7	6	5,014	4,60	100,0	-0,0	100,3	0,8	16,9
8	7	5,016	4,60	98,5	-1,3	99,7	-0,8	16,9
9	8	5,016	4,50	99,0	-2,6	99,2	-2,1	16,9
10	9	5,018	4,50	98,7	-3,3	98,9	-2,8	16,9
11	10	5,018	4,50	98,5	-3,9	98,6	-3,6	16,8
12	11	5,018	4,50	98,3	-4,4	98,4	-4,1	16,8
13	12	5,020	4,50	98,2	-4,6	98,3	-4,4	16,7
14	13	5,020	4,45	98,1	-4,9	98,1	-4,9	16,7
15	14	5,020	4,45	98,0	-5,1	98,1	-4,9	16,7
16	15	5,020	4,40	98,0	-5,1	98,0	-4,9	16,7
17	16	5,020	4,40	98,0	-5,1	98,0	-5,1	16,7
18	17	5,020	4,40	97,9	-5,4	97,9	-5,4	16,6
19	18	5,020	4,40	97,9	-5,4	97,9	-5,4	16,5
20	19	5,022	4,40	97,9	-5,4	97,9	-5,4	16,5
21	20	5,022	4,40	97,9	-5,4	97,9	-5,4	16,5
22	21	5,022	4,40	98,0	-5,1	97,9	-5,4	16,5
23	22	5,022	4,40	98,0	-5,1	98,0	-5,1	16,4
24	23	5,022	4,40	98,0	-5,1	98,0	-5,1	16,4
25	24	5,022	4,40	98,1	-4,9	98,1	-4,9	16,4
26	25	5,022	4,40	98,2	-4,6	98,2	-4,6	16,3
27	26	5,022	4,40	98,2	-4,6	98,2	-4,6	16,3
28	27	5,022	4,40	98,2	-4,6	98,2	-4,6	16,3
29	28	5,022	4,40	98,2	-4,6	98,2	-4,6	16,3
30	29	5,022	4,40	98,2	-4,6	98,2	-4,6	16,3
31	30	5,022	4,40	98,2	-4,6	98,2	-4,6	16,3
32	35	5,022	4,40	98,2	-4,6	98,2	-4,6	16,3
33	40	5,022	4,40	98,2	-4,6	98,2	-4,6	16,3
34	45	5,022	4,40	98,2	-4,6	98,2	-4,6	16,3
35	—	—	—	—	—	—	—	—

12

Tabela 5.

Pomiar	Czas	Napięcie	Prąd	I komora		II komora		Temp. otocz. [°C]
				Oporność czujnika	Temp.	Oporność czujnika	Temp.	
				[Ω]	[°C]	[Ω]	[°C]	
		[V]	[A]					
1	0	4,954	23,3	102,2	5,6	102,1	5,4	5,3
2	1	4,970	22,3	101,3	3,3	101,4	3,6	5,3
3	2	4,978	21,9	99,3	-1,8	99,5	-1,3	5,3
4	3	4,980	21,6	97,2	-7,2	97,6	-6,2	5,3
5	4	4,984	21,4	95,3	-12,0	95,8	-10,8	5,3
6	5	4,988	21,3	93,8	-15,8	94,5	-14,0	5,3
7	6	4,990	21,2	92,6	-18,8	93,2	-12,3	5,4
8	7	4,990	21,2	91,0	-22,8	91,5	-21,6	5,4
9	8	4,992	21,2	90,5	-24,1	90,9	-23,1	5,5
10	9	4,992	21,2	90,0	-25,4	90,4	-24,4	5,5
11	10	4,994	21,2	89,7	-26,2	90,0	-25,4	5,5
12	11	4,994	21,1	89,4	-26,9	89,7	-26,2	5,5
13	12	4,994	21,1	89,2	-27,4	89,5	-26,7	5,6
14	13	4,994	21,1	89,5	-26,7	89,4	-26,9	5,6
15	14	4,994	21,1	88,9	-28,2	89,2	-27,4	5,5
16	15	4,994	21,1	88,8	-28,5	89,1	-27,7	5,5
17	16	4,994	21,1	88,7	-28,7	89,0	-27,9	5,5
18	17	4,994	21,1	88,6	-29,0	88,9	-28,2	5,5
19	18	4,994	21,1	88,5	-29,2	88,9	-28,2	5,5
20	19	4,994	21,1	88,5	-29,2	88,8	-28,2	5,5
21	20	4,994	21,1	88,4	-29,5	88,8	-28,2	5,5
22	21	4,996	21,1	88,4	-29,5	88,7	-28,7	5,5
23	22	4,996	21,1	88,4	-29,5	88,7	-28,7	5,7
24	23	4,996	21,1	88,4	-29,5	88,7	-28,7	5,7
25	28	4,996	21,1	88,3	-29,7	88,6	-29,0	5,7
26	33	4,996	21,1	88,3	-29,7	88,6	-29,0	5,7
27	38	4,996	21,1	88,3	-29,7	88,6	-29,0	5,7
28								
29								
30								
31								
32								
33								
34								
35								

Tabela 6.

Pomiar	Czas	Napięcie	Prąd	I komora		II komora		Temp. otocz.
				Oporność czujnika	Temp.	Oporność czujnika	Temp.	
				[SΩ]	[°C]	[SΩ]	[°C]	
	[min]	[V]	[A]					
1	0	4,954	23,3	102,4	6,2	102,3	5,9	5,5
2	1	4,968	22,2	101,5	3,9	101,5	3,9	5,5
3	2	4,974	21,7	99,5	- 1,3	99,5	- 1,3	5,4
4	3	4,982	21,4	97,5	- 6,4	97,6	- 6,2	5,5
5	4	4,988	21,2	95,7	- 11,0	95,8	- 10,8	5,5
6	5	4,994	20,9	94,1	- 15,0	94,3	- 14,5	5,5
7	6	4,998	20,8	93,2	- 17,3	93,4	- 16,8	5,5
8	7	5,000	20,7	92,4	- 19,3	92,6	- 18,8	5,5
9	8	5,002	20,6	91,8	- 20,8	91,9	- 20,5	5,5
10	9	5,004	20,5	91,4	- 21,8	91,4	- 21,8	5,5
11	10	5,006	20,4	91,0	- 22,8	91,1	- 22,6	5,5
12	11	5,008	20,4	90,8	- 23,3	90,9	- 23,1	5,6
13	12	5,008	20,4	90,6	- 23,9	90,7	- 23,6	5,5
14	13	5,010	20,3	90,5	- 24,1	90,6	- 23,9	5,5
15	14	5,010	20,3	90,4	- 24,4	90,6	- 23,9	5,5
16	15	5,010	20,3	90,3	- 24,6	90,5	- 24,1	5,5
17	16	5,010	20,3	90,2	- 24,9	90,4	- 24,4	5,5
18	17	5,010	20,3	90,2	- 24,9	90,4	- 24,4	5,5
19	18	5,012	20,3	90,1	- 25,1	90,4	- 24,4	5,5
20	19	5,012	20,3	90,1	- 25,1	90,4	- 24,4	5,5
21	20	5,012	20,3	90,1	- 25,1	90,4	- 24,4	5,6
22	25	5,010	20,2	90,0	- 25,4	90,4	- 24,4	5,7
23	30	5,010	20,2	90,0	- 25,4	90,4	- 24,4	5,7
24	35	5,010	20,2	90,0	- 25,4	90,4	- 24,4	5,7
25								
26								
27								
28								
29								
30								
31								
32								
33								
34								
35								

Tabela 7.

Pomiar	Czas	Napięcie	Prąd	I komora		II komora		Temp. otocz.
				Oporność czujnika	Temp.	Oporność czujnika	Temp.	
				[Ω]	[°C]	[Ω]	[°C]	
1	0	5,038	18,8	121,5	55,5	121,5	55,5	55,2
2	1	5,048	17,6	120,5	52,9	120,6	53,2	55,2
3	2	5,058	17,0	118,4	47,4	118,7	48,2	55,2
4	3	5,064	16,7	116,1	41,5	116,5	42,6	55,2
5	4	5,068	16,6	114,1	36,3	114,5	37,4	55,2
6	5	5,070	16,4	112,4	31,8	112,9	33,2	55,3
7	6	5,074	16,4	111,0	28,2	111,4	29,2	55,3
8	7	5,076	16,3	109,9	25,4	110,4	26,7	55,3
9	8	5,076	16,3	108,9	22,8	109,4	24,1	55,4
10	9	5,078	16,2	108,2	21,0	108,7	22,3	55,4
11	10	5,078	16,2	107,6	19,5	108,1	20,8	55,4
12	11	5,078	16,2	107,1	18,2	107,6	19,5	55,4
13	12	5,080	16,2	106,6	16,9	107,2	18,5	55,4
14	13	5,080	16,2	106,3	16,2	106,9	17,7	55,4
15	14	5,080	16,2	106,0	15,4	106,6	16,9	55,4
16	15	5,080	16,2	105,8	14,9	106,4	16,4	55,4
17	16	5,080	16,2	105,6	14,4	106,2	15,9	55,4
18	17	5,080	16,2	105,4	13,9	106,0	15,4	55,4
19	18	5,080	16,2	105,3	13,6	105,9	15,1	55,4
20	19	5,080	16,2	105,2	13,3	105,8	14,9	55,4
21	20	5,080	16,2	105,1	13,1	105,7	14,6	55,4
22	21	5,080	16,2	105,0	12,8	105,6	14,4	55,4
23	22	5,080	16,2	104,9	12,6	105,6	14,4	55,4
24	23	5,080	16,2	104,9	12,6	105,5	14,1	55,4
25	24	5,080	16,2	104,8	12,3	105,5	14,1	55,4
26	25	5,080	16,2	104,8	12,3	105,4	13,9	55,4
27	30	5,080	16,2	106,6	11,8	105,3	13,6	55,2
28	35	5,082	16,2	106,6	11,8	105,2	13,3	55,2
29	40	5,082	16,2	106,6	11,8	105,2	13,3	55,2
30								
31								
32								
33								
34								
35								

Tabela 8.

Pomiar	Czas [min]	Napięcie [V]	Prąd [A]	I komora		II komora		Temp. otocz. [°C]
				Oporność czujnika [Ω]	Temp. [°C]	Oporność czujnika [Ω]	Temp. [°C]	
1	0	5,030	18,7	121,5	55,5	121,5	55,5	55,3
2	1	5,052	17,6	120,7	53,4	120,7	53,4	55,3
3	2	5,062	17,0	118,6	48,0	118,7	48,2	55,3
4	3	5,072	16,6	116,4	42,3	116,6	42,8	55,3
5	4	5,078	16,4	114,3	36,8	114,4	42,8	55,3
6	5	5,080	16,2	112,8	32,9	113,0	33,4	55,3
7	6	5,084	16,1	111,5	29,5	111,7	30,0	55,3
8	7	5,088	16,0	110,5	26,9	110,6	27,2	55,3
9	8	5,090	15,9	109,7	24,9	109,7	24,9	55,3
10	9	5,090	15,8	109,1	23,3	109,1	23,6	55,3
11	10	5,092	15,8	108,6	22,1	108,6	22,1	55,3
12	11	5,092	15,8	108,2	21,0	108,2	21,0	55,3
13	12	5,094	15,7	107,9	20,3	108,0	20,5	55,3
14	13	5,094	15,7	107,7	19,7	107,7	19,7	55,3
15	14	5,094	15,7	107,5	19,2	107,6	19,5	55,3
16	15	5,094	15,7	107,3	18,7	107,4	19,0	55,3
17	16	5,094	15,7	107,2	18,5	107,3	18,7	55,3
18	17	5,094	15,7	107,1	18,2	107,2	18,5	55,3
19	18	5,094	15,7	107,0	18,0	107,2	18,5	55,4
20	19	5,094	15,7	107,0	18,0	107,1	18,2	55,4
21	20	5,094	15,7	106,9	17,7	107,1	18,2	55,4
22	21	5,094	15,7	106,8	17,4	107,0	18,0	55,4
23	22	5,094	15,7	106,8	17,4	107,0	18,0	55,4
24	23	5,094	15,7	106,8	17,4	107,0	18,0	55,4
25	28	5,094	15,7	106,6	16,9	106,9	17,7	55,4
26	33	5,094	15,7	106,6	16,9	106,9	17,7	55,4
27	38	5,094	15,7	106,6	16,9	106,9	17,7	55,4
28								
29								
30								
31								
32								
33								
34								
35								

Tabela 9,

Tabela 10.

Tabela 11.

Pomiar	Czas [min]	Napięcie [V]	Prąd [A]	I komora		II komora		Temp. otocz. [°C]
				Oporność czujnika [Ω]	Temp. [°C]	Oporność czujnika [Ω]	Temp. [°C]	
1	0	4,928	21,5	107,6	19,5	107,6	19,5	19,3
2	1	4,944	20,4	106,5	16,7	106,6	16,9	19,2
3	2	4,954	19,8	104,5	11,5	104,6	11,8	19,1
4	3	4,962	19,4	102,4	6,2	102,6	6,7	19,0
5	4	4,968	19,1	100,7	1,8	100,9	2,3	19,0
6	5	4,976	18,8	99,2	- 2,1	99,3	- 1,8	18,9
7	6	4,982	18,6	98,2	- 4,6	98,3	- 4,4	18,9
8	7	4,984	18,4	97,4	- 6,7	97,4	- 6,7	18,9
9	8	4,990	18,3	96,7	- 8,5	96,8	- 8,2	18,9
10	9	4,996	18,0	96,3	- 9,5	96,3	- 9,5	18,9
11	10	5,000	17,9	96,0	- 10,3	96,0	- 10,3	19,0
12	11	5,002	17,8	95,9	- 10,5	95,8	- 10,8	19,1
13	12	5,002	17,7	95,8	- 10,8	95,7	- 11,0	19,1
14	13	5,002	17,7	95,8	- 10,8	95,7	- 11,0	19,2
15	14	5,002	17,7	95,8	- 10,8	95,7	- 11,0	19,3
16	15	5,006	17,6	95,8	- 10,8	95,7	- 11,0	19,4
17	16	5,006	17,6	95,9	- 10,5	95,7	- 11,0	19,2
18	17	5,006	17,6	95,8	- 10,8	95,9	- 10,5	19,6
19	18	5,008	17,6	96,0	- 10,3	95,9	- 10,5	19,7
20	19	5,008	17,5	96,2	- 9,7	96,1	- 10,0	19,8
21	20	5,010	17,4	96,3	- 9,5	96,1	- 10,0	19,8
22	21	5,010	17,4	96,3	- 9,5	96,2	- 9,7	19,9
23	22	5,012	17,4	96,4	- 9,3	96,3	- 9,5	20,0
24	23	5,012	17,4	96,5	- 9,0	96,4	- 9,3	20,0
25	24	5,012	17,3	96,6	- 8,7	96,5	- 9,0	20,1
26	25	5,014	17,3	96,7	- 8,5	96,6	- 8,7	20,2
27	30	5,014	17,3	97,0	- 7,7	96,9	- 8,0	20,3
28	35	5,014	17,3	97,3	- 6,9	97,2	- 7,2	20,4
29	40	5,016	17,3	97,5	- 6,4	97,4	- 6,7	20,6
30								
31								
32								
33								
34								
35								

Tabela 12.

Pomiar	Czas [min]	Napięcie [V]	Prąd [A]	I komora		II komora		Temperatura otoczenia [°C]
				Oporność czujnika [Ω]	Temp. [°C]	Oporność czujnika [Ω]	Temp. [°C]	
1	0	4,864	21,8	104,9	12,6	104,9	12,6	9,4
2	1	4,904	20,8	104,0	10,3	103,8	11,0	9,3
3	2	4,922	19,9	102,2	5,6	102,0	6,4	9,3
4	3	4,938	19,9	100,3	0,8	100,0	1,3	9,3
5	4	4,950	19,5	98,6	-3,6	98,4	-2,8	9,3
6	5	4,960	19,3	97,0	-7,7	96,9	-8,0	9,3
7	6	4,966	19,1	96,2	-9,7	96,1	-10,0	9,3
8	7	4,970	18,8	95,4	-11,8	95,3	-12,0	9,3
9	8	4,974	18,8	94,7	-13,5	94,7	-13,5	9,4
10	9	4,980	18,6	94,4	-14,3	94,5	-14,0	9,3
11	10	4,980	18,5	94,1	-15,0	94,2	-14,8	9,4
12	11	4,984	18,4	94,0	-15,3	94,1	-15,0	9,4
13	12	4,986	18,4	93,9	-15,5	94,0	-15,3	9,3
14	13	4,990	18,3	93,8	-15,8	94,0	-15,3	9,3
15	14	4,992	18,3	93,8	-15,5	94,0	-15,3	9,3
16	15	4,994	18,2	93,9	-15,5	94,1	-15,0	9,3
17	16	4,994	18,2	93,9	-15,3	94,2	-14,8	9,3
18	17	4,996	18,1	94,0	-15,0	94,2	-14,8	9,3
19	18	4,998	18,1	94,1	-14,8	94,3	-14,5	9,3
20	19	4,998	18,1	94,2	-14,5	94,4	-14,3	9,3
21	20	5,000	18,0	94,3	-14,3	94,5	-14,0	9,3
22	21	5,000	18,0	94,4	-13,8	94,6	-13,8	9,3
23	22	5,002	18,0	94,6	-13,8	94,8	-13,3	9,3
24	23	5,004	17,9	94,6	-13,5	94,8	-13,3	9,3
25	24	5,004	17,9	94,7	-13,3	94,9	-13,0	9,3
26	25	5,004	17,8	94,8	-12,0	95,0	-12,8	9,3
27	30	5,002	17,7	95,3	-11,3	95,5	-11,5	9,3
28	35	5,002	17,7	95,6	-10,5	95,8	-10,8	9,3
29	40	5,002	17,6	95,9	-10,0	96,1	-10,0	9,3
30	45	5,004	17,6	96,1	-10,0	96,3	-9,5	9,3
31								
32								
33								
34								
35								

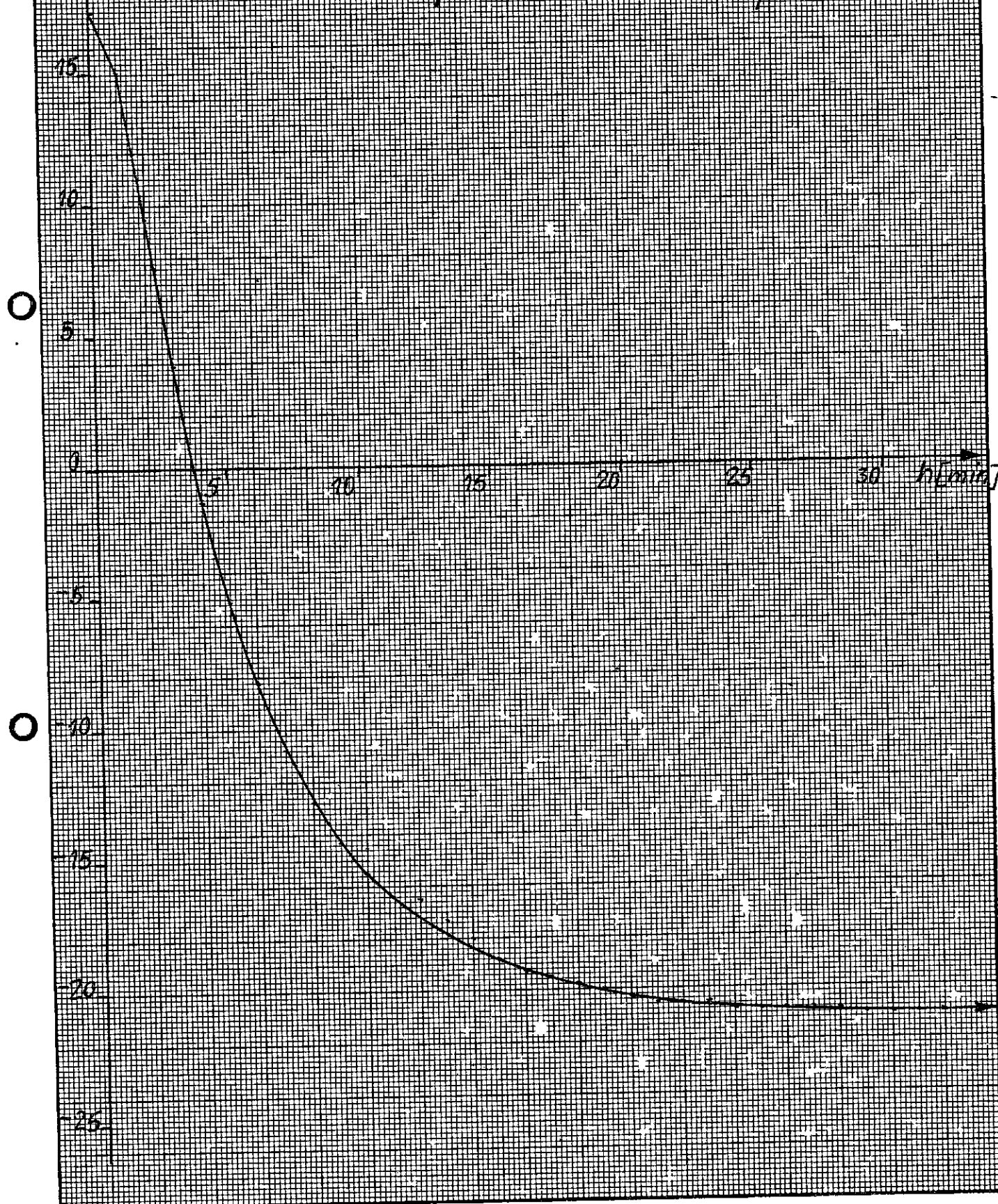
Tabela 13.

Pomiar	Czas	Napięcie [V]	Prąd [A]	I komora		II komora		Temp. otocz. [°C]
				Oporność czujnika, [Ω]	Temp. [°C]	Oporność czujnika [Ω]	Temp. [°C]	
				[min]				
1	0	4,884	22,0	104,7	12,7	104,7	12,7	12,4
2	1	4,898	21,2	104,1	10,5	104,0	10,3	12,4
3	2	4,912	20,6	102,3	5,9	102,5	6,4	12,4
4	3	4,924	20,2	100,2	0,5	100,5	1,3	12,4
5	4	4,936	19,8	98,4	- 4,1	98,8	- 3,1	12,5
6	5	4,944	19,6	96,9	- 8,0	97,2	- 7,2	12,6
7	6	4,952	19,3	95,7	- 11,0	95,8	- 10,8	12,6
8	7	4,958	19,2	94,8	- 13,3	94,8	- 13,3	12,6
9	8	4,960	19,0	94,6	- 13,8	94,5	- 14,0	12,6
10	9	4,966	18,8	94,2	- 14,8	94,0	- 15,3	12,7
11	10	4,968	18,7	94,0	- 15,3	93,7	- 16,0	12,7
12	11	4,972	18,6	93,8	- 15,8	93,5	- 16,5	12,7
13	12	4,974	18,6	93,8	- 15,8	93,4	- 16,8	12,7
14	13	4,976	18,5	93,8	- 15,8	93,4	- 16,8	12,8
15	14	4,978	18,4	93,8	- 15,8	93,4	- 16,8	12,8
16	15	4,980	18,3	93,9	- 15,5	93,5	- 16,5	12,8
17	16	4,982	18,3	93,9	- 15,5	93,5	- 16,5	12,8
18	17	4,984	18,2	94,0	- 15,3	93,6	- 16,3	12,8
19	18	4,984	18,2	94,1	- 15,0	93,7	- 16,0	12,8
20	19	4,986	18,2	94,2	- 14,8	93,8	- 15,8	12,8
21	20	4,988	18,1	94,4	- 14,3	94,0	- 15,3	12,8
22	21	4,990	18,1	94,5	- 14,0	94,1	- 15,0	12,8
23	22	4,990	18,0	94,6	- 13,8	94,2	- 14,8	12,8
24	23	4,992	18,0	94,7	- 13,5	94,3	- 14,5	12,9
25	24	4,992	18,0	94,8	- 13,3	94,4	- 14,3	12,9
26	25	4,992	17,9	94,9	- 13,0	94,5	- 14,0	12,9
27	26	4,992	17,9	95,0	- 12,8	94,6	- 13,8	12,9
28	27	4,994	17,9	95,1	- 12,5	94,7	- 13,5	12,9
29	28	4,994	17,9	95,2	- 12,3	94,8	- 13,3	12,9
30	29	4,994	17,8	95,3	- 12,0	94,9	- 13,0	12,9
31	30	4,996	17,8	95,3	- 12,0	94,9	- 13,0	13,0
32	35	5,000	17,8	95,2	- 12,3	95,3	- 12,0	13,0
33	40	5,002	17,7	96,0	- 10,3	95,5	- 11,5	13,1
34	45	5,004	17,7	96,2	- 9,7	95,7	- 11,0	13,1
35	—	—	—	—	—	—	—	—

t [s]

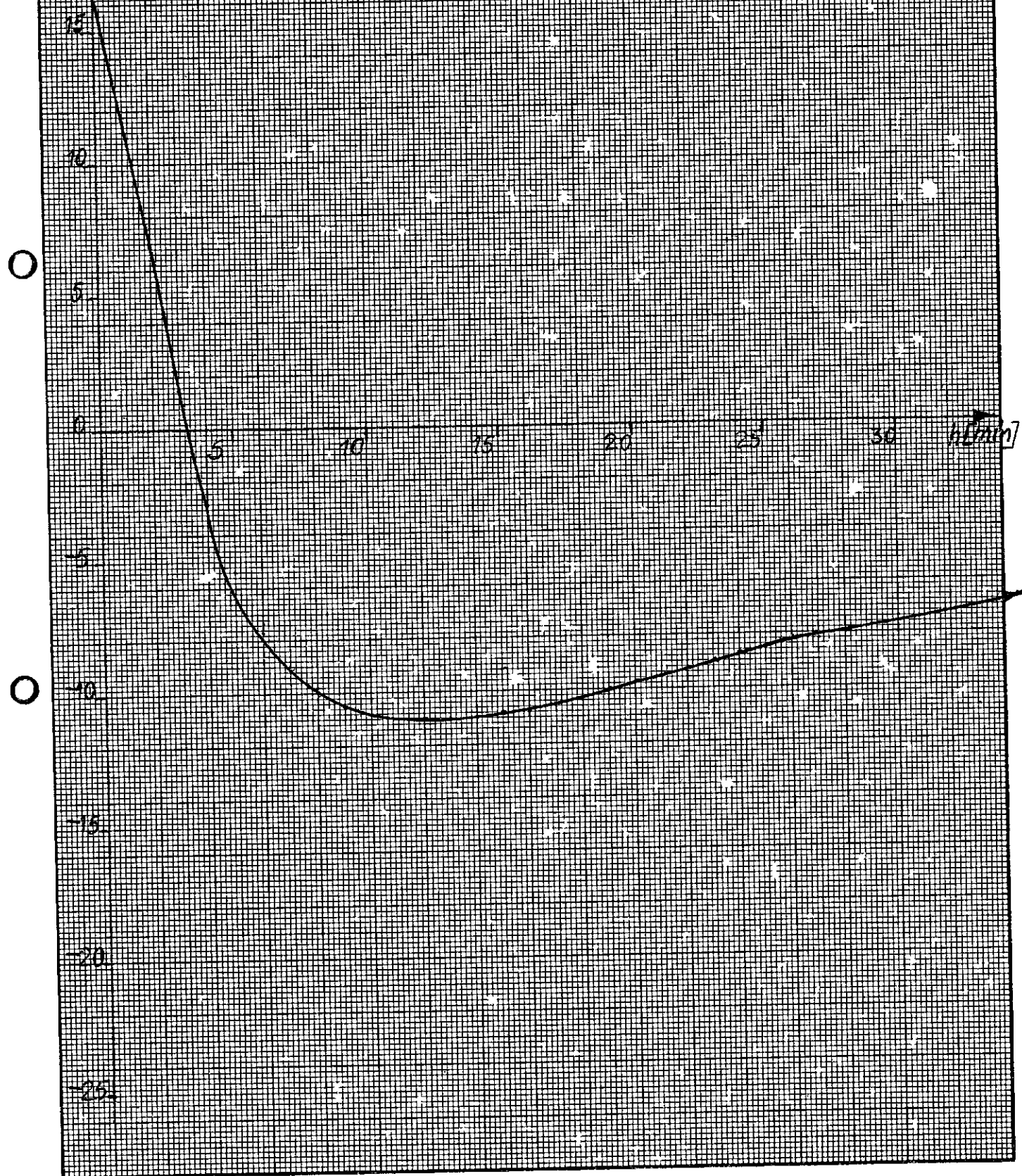
Nr 1

wariant A - IV stop chłodzenia
[warunki normalne]



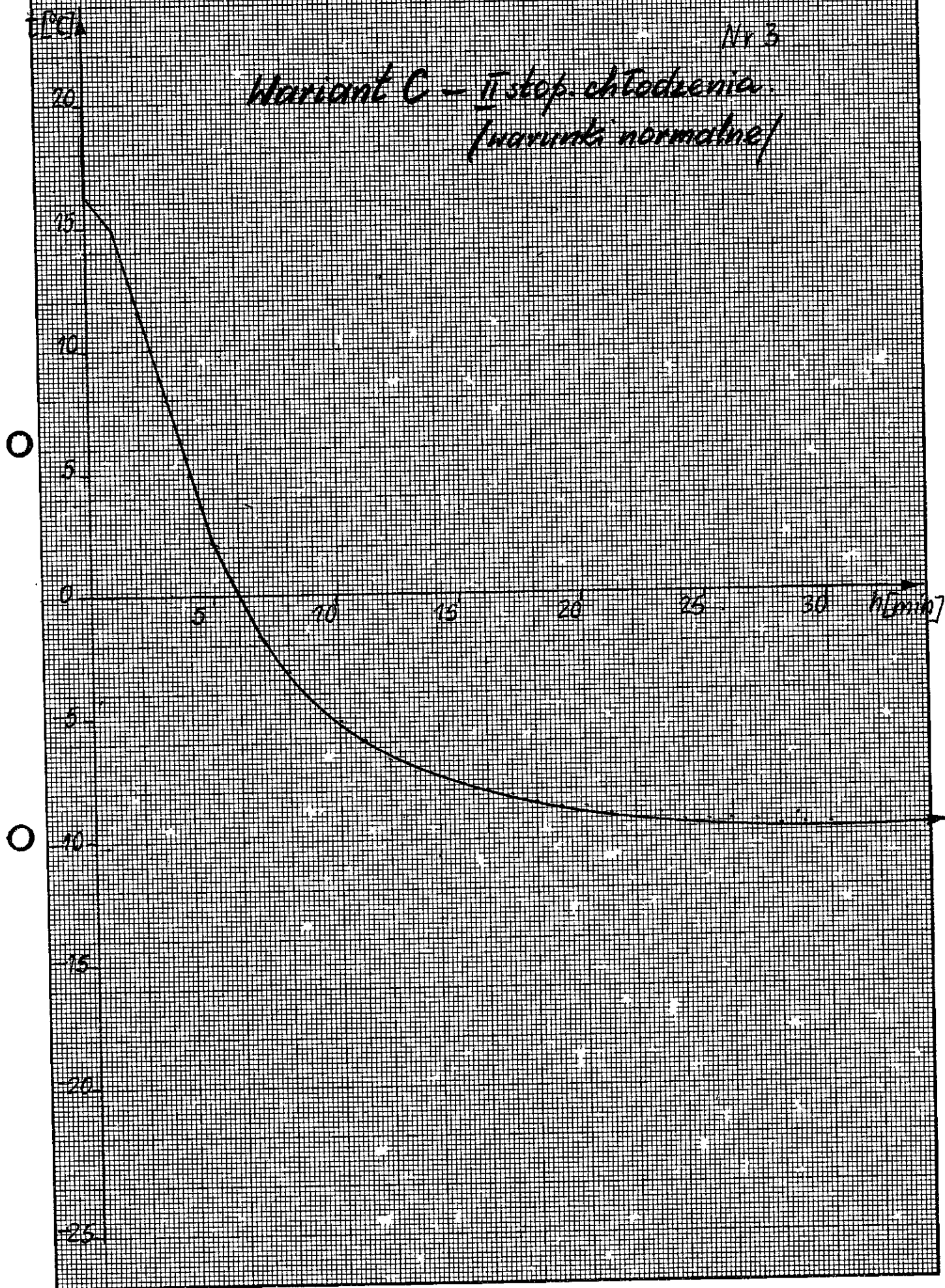
Nr 9

Variant B - II stop. chłodzenia
[warunki normalne]



Nr 3

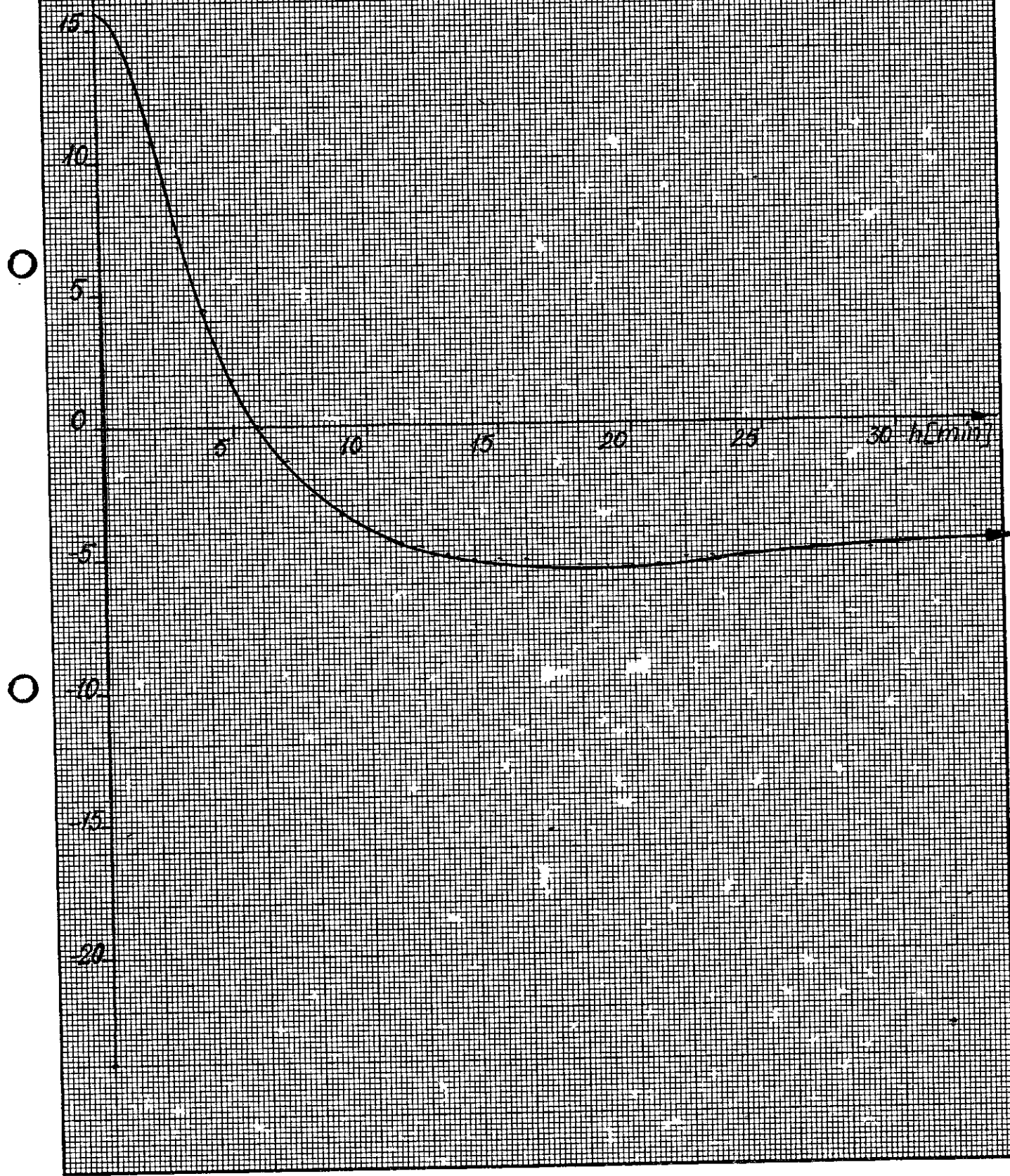
Mariant C - II stop. chłodzenia.
(warunki normalne)



t^oC

Nr 1

Hariant D - I stop. chłodzenia
(warunki normalne)

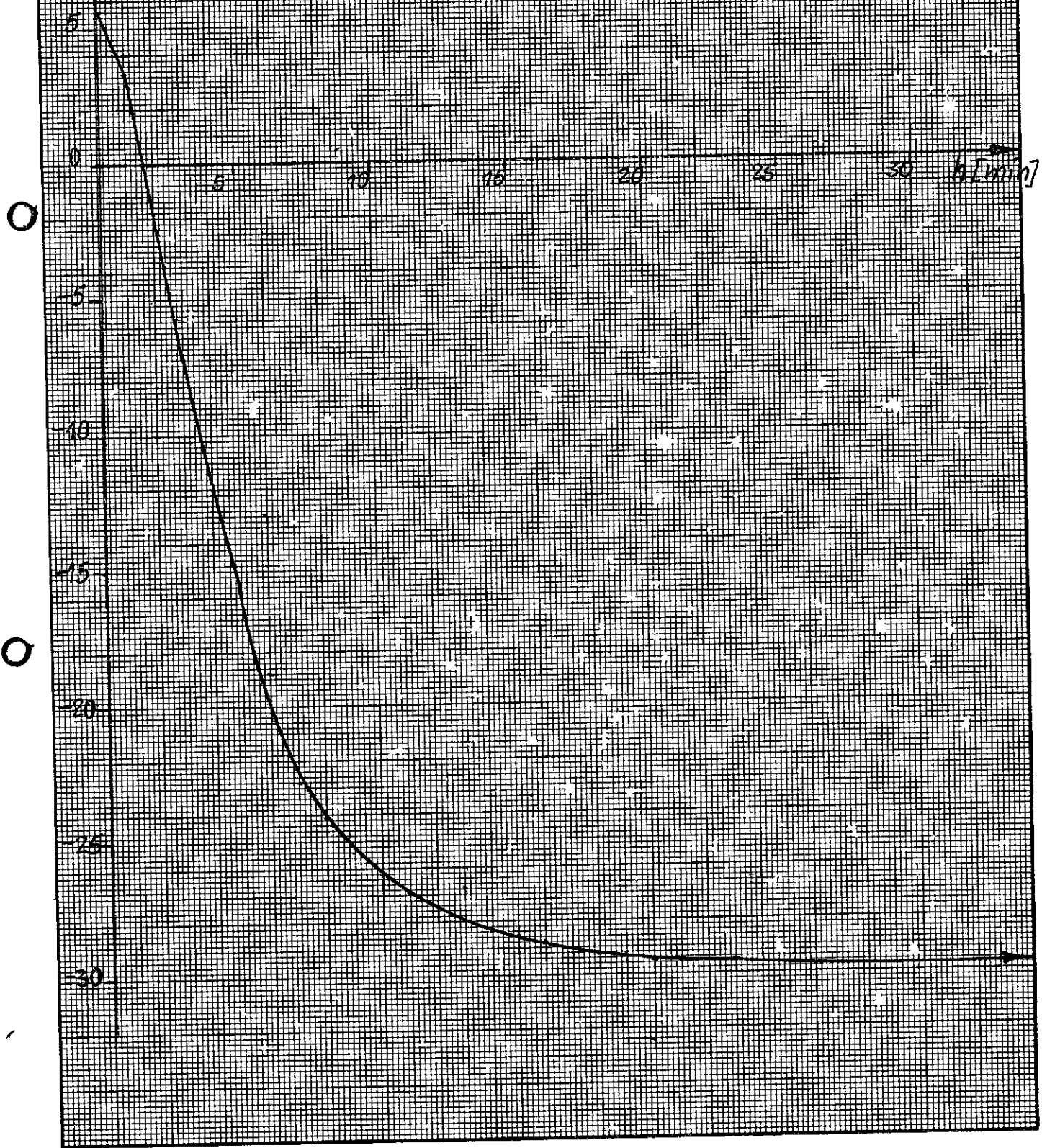


t [°C]

NY 5

Variant A - IV stop. chlodeenica.

[temp. obnizona + 5°C /



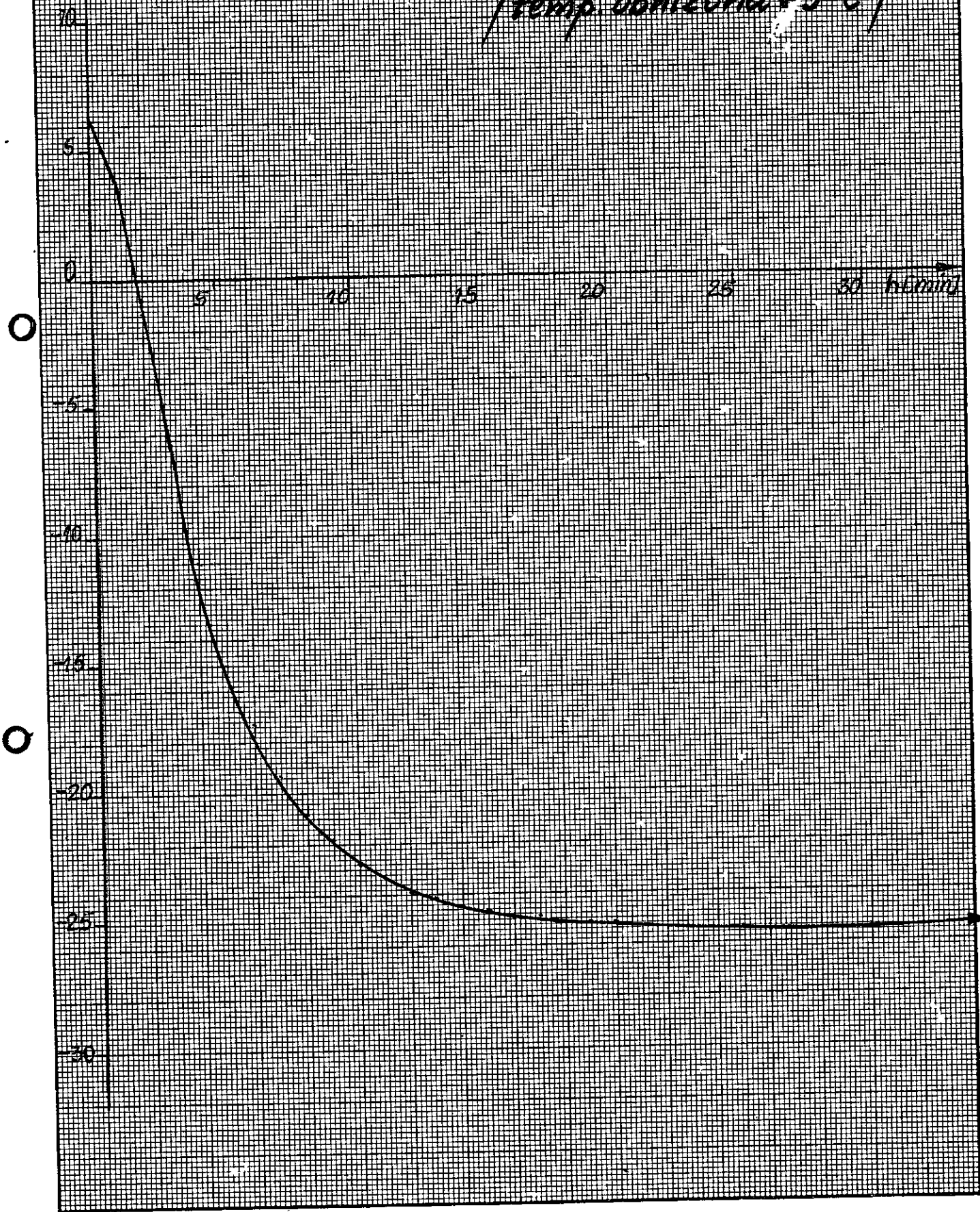
Variant A - IV stop. chlodeenica. /temp. obnizona + 5°C /

26

196

NRG

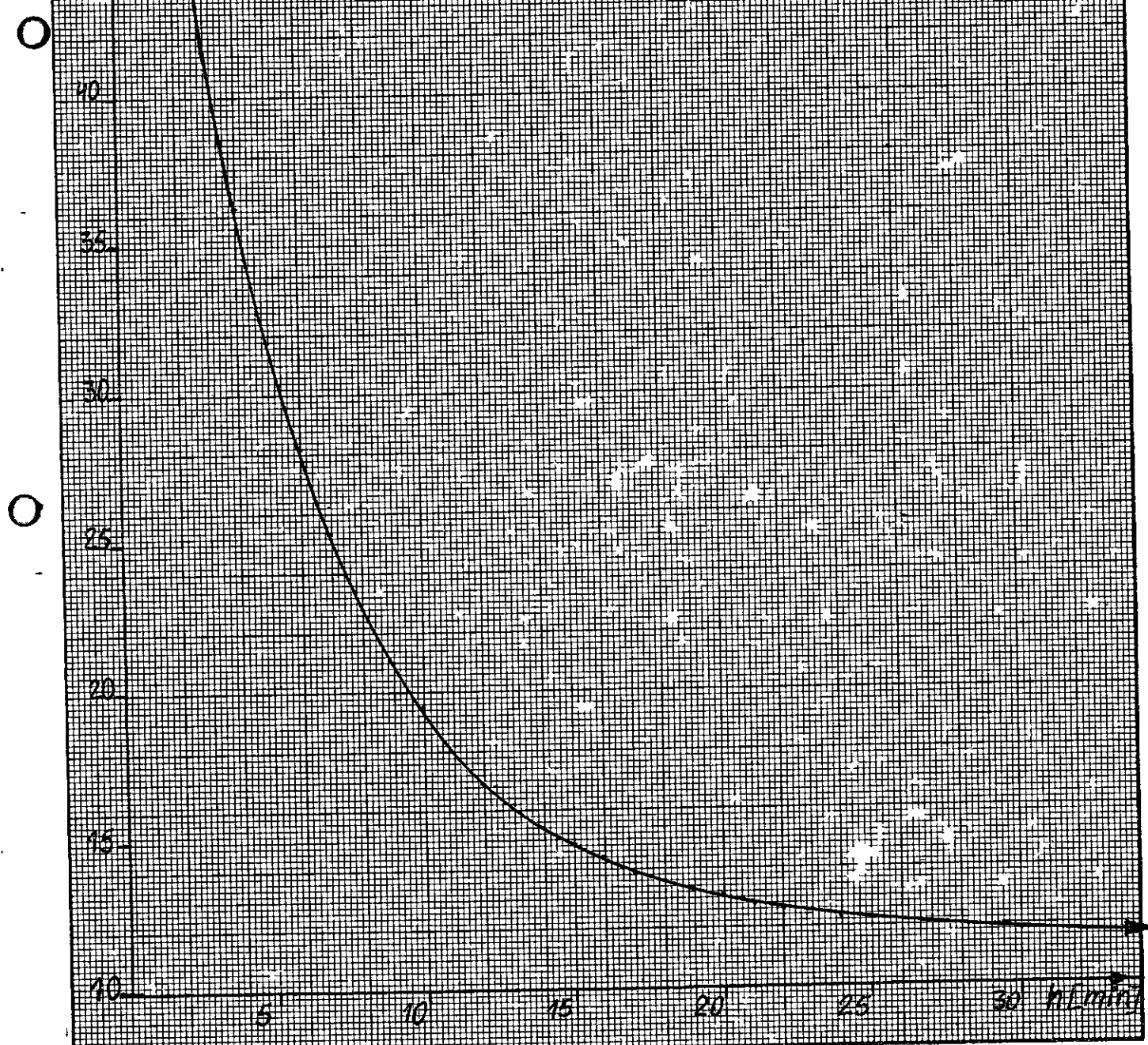
Variant B - in stop. chlodenica.
/temp. abnizoria + 5°C /



11.9.1

Nr 4

Wariant A — IV stop. chłodzenia
temp podwyższona +55°C



100

Nr. 8

Variant B - II stop. chłodzenia

temp. podwyższona +55°C /

